

Starkniederschlagshöhen und -spenden gemäß KOSTRA-DWD-2020

Rasterfeld 159165

(Zeile 159, Spalte 165)

Regenspende und Bemessungsniederschlagswerte in Abhängigkeit von Wiederkehrzeit T und Dauerstufe D

| Dauerstufe D | | Wiederkehrzeit T | | | | | | | | | | | | | | | | | |
|--------------|-----|------------------|------------|------|------------|------|------------|------|------------|-------|------------|-------|------------|-------|------------|-------|------------|-------|------------|
| | | 1 a | | 2 a | | 3 a | | 5 a | | 10 a | | 20 a | | 30 a | | 50 a | | 100 a | |
| min | Std | mm | l / (s ha) | mm | l / (s ha) | mm | l / (s ha) | mm | l / (s ha) | mm | l / (s ha) | mm | l / (s ha) | mm | l / (s ha) | mm | l / (s ha) | mm | l / (s ha) |
| 5 | | 7,3 | 243,3 | 9,0 | 300,0 | 10,0 | 333,3 | 11,4 | 380,0 | 13,4 | 446,7 | 15,5 | 516,7 | 16,9 | 563,3 | 18,6 | 620,0 | 21,2 | 706,7 |
| 10 | | 9,5 | 158,3 | 11,7 | 195,0 | 13,1 | 218,3 | 14,9 | 248,3 | 17,5 | 291,7 | 20,2 | 336,7 | 22,0 | 366,7 | 24,3 | 405,0 | 27,6 | 460,0 |
| 15 | | 10,9 | 121,1 | 13,4 | 148,9 | 15,0 | 166,7 | 17,1 | 190,0 | 20,1 | 223,3 | 23,2 | 257,8 | 25,2 | 280,0 | 27,8 | 308,9 | 31,6 | 351,1 |
| 20 | | 11,9 | 99,2 | 14,7 | 122,5 | 16,4 | 136,7 | 18,7 | 155,8 | 21,9 | 182,5 | 25,3 | 210,8 | 27,5 | 229,2 | 30,4 | 253,3 | 34,6 | 288,3 |
| 30 | | 13,3 | 73,9 | 16,5 | 91,7 | 18,4 | 102,2 | 21,0 | 116,7 | 24,7 | 137,2 | 28,5 | 158,3 | 31,0 | 172,2 | 34,2 | 190,0 | 38,9 | 216,1 |
| 45 | | 14,9 | 55,2 | 18,4 | 68,1 | 20,6 | 76,3 | 23,5 | 87,0 | 27,6 | 102,2 | 31,8 | 117,8 | 34,6 | 128,1 | 38,3 | 141,9 | 43,5 | 161,1 |
| 60 | 1 | 16,1 | 44,7 | 19,9 | 55,3 | 22,3 | 61,9 | 25,4 | 70,6 | 29,8 | 82,8 | 34,4 | 95,6 | 37,4 | 103,9 | 41,3 | 114,7 | 47,0 | 130,6 |
| 90 | 1,5 | 17,9 | 33,1 | 22,1 | 40,9 | 24,7 | 45,7 | 28,2 | 52,2 | 33,1 | 61,3 | 38,2 | 70,7 | 41,6 | 77,0 | 45,9 | 85,0 | 52,2 | 96,7 |
| 120 | 2 | 19,3 | 26,8 | 23,8 | 33,1 | 26,6 | 36,9 | 30,3 | 42,1 | 35,7 | 49,6 | 41,1 | 57,1 | 44,7 | 62,1 | 49,4 | 68,6 | 56,2 | 78,1 |
| 180 | 3 | 21,4 | 19,8 | 26,4 | 24,4 | 29,5 | 27,3 | 33,6 | 31,1 | 39,5 | 36,6 | 45,6 | 42,2 | 49,6 | 45,9 | 54,8 | 50,7 | 62,3 | 57,7 |
| 240 | 4 | 23,0 | 16,0 | 28,4 | 19,7 | 31,7 | 22,0 | 36,1 | 25,1 | 42,5 | 29,5 | 49,0 | 34,0 | 53,3 | 37,0 | 58,9 | 40,9 | 66,9 | 46,5 |
| 360 | 6 | 25,4 | 11,8 | 31,4 | 14,5 | 35,1 | 16,3 | 40,0 | 18,5 | 47,0 | 21,8 | 54,2 | 25,1 | 58,9 | 27,3 | 65,1 | 30,1 | 74,0 | 34,3 |
| 540 | 9 | 28,1 | 8,7 | 34,7 | 10,7 | 38,8 | 12,0 | 44,2 | 13,6 | 51,9 | 16,0 | 59,9 | 18,5 | 65,2 | 20,1 | 72,0 | 22,2 | 81,8 | 25,2 |
| 720 | 12 | 30,2 | 7,0 | 37,3 | 8,6 | 41,7 | 9,7 | 47,4 | 11,0 | 55,7 | 12,9 | 64,3 | 14,9 | 70,0 | 16,2 | 77,3 | 17,9 | 87,9 | 20,3 |
| 1080 | 18 | 33,3 | 5,1 | 41,2 | 6,4 | 46,0 | 7,1 | 52,4 | 8,1 | 61,6 | 9,5 | 71,1 | 11,0 | 77,3 | 11,9 | 85,4 | 13,2 | 97,1 | 15,0 |
| 1440 | 24 | 35,8 | 4,1 | 44,2 | 5,1 | 49,4 | 5,7 | 56,2 | 6,5 | 66,1 | 7,7 | 76,3 | 8,8 | 83,0 | 9,6 | 91,7 | 10,6 | 104,2 | 12,1 |
| 2880 | 48 | 42,4 | 2,5 | 52,4 | 3,0 | 58,6 | 3,4 | 66,7 | 3,9 | 78,4 | 4,5 | 90,4 | 5,2 | 98,3 | 5,7 | 108,7 | 6,3 | 123,5 | 7,1 |
| 4320 | 72 | 46,8 | 1,8 | 57,9 | 2,2 | 64,7 | 2,5 | 73,6 | 2,8 | 86,6 | 3,3 | 99,9 | 3,9 | 108,6 | 4,2 | 120,0 | 4,6 | 136,4 | 5,3 |
| 5760 | 96 | 50,2 | 1,5 | 62,1 | 1,8 | 69,4 | 2,0 | 79,0 | 2,3 | 92,9 | 2,7 | 107,2 | 3,1 | 116,5 | 3,4 | 128,8 | 3,7 | 146,4 | 4,2 |
| 7200 | 120 | 53,1 | 1,2 | 65,6 | 1,5 | 73,3 | 1,7 | 83,5 | 1,9 | 98,1 | 2,3 | 113,2 | 2,6 | 123,1 | 2,8 | 136,1 | 3,2 | 154,6 | 3,6 |
| 8640 | 144 | 55,5 | 1,1 | 68,6 | 1,3 | 76,7 | 1,5 | 87,3 | 1,7 | 102,6 | 2,0 | 118,4 | 2,3 | 128,7 | 2,5 | 142,3 | 2,7 | 161,7 | 3,1 |
| 10080 | 168 | 57,6 | 1,0 | 71,2 | 1,2 | 79,6 | 1,3 | 90,6 | 1,5 | 106,5 | 1,8 | 122,9 | 2,0 | 133,7 | 2,2 | 147,7 | 2,4 | 167,9 | 2,8 |

Starkniederschlagshöhen und -spenden gemäß KOSTRA-DWD-2020

Rasterfeld 159165

(Zeile 159, Spalte 165)

Örtliche Unsicherheiten in Abhängigkeit von Wiederkehrzeit T und Dauerstufe D

| Dauerstufe D | | Wiederkehrzeit T | | | | | | | | |
|--------------|-----|------------------|-----|-----|-----|------|------|------|------|-------|
| | | 1 a | 2 a | 3 a | 5 a | 10 a | 20 a | 30 a | 50 a | 100 a |
| min | Std | ± % | ± % | ± % | ± % | ± % | ± % | ± % | ± % | ± % |
| 5 | | 11 | 12 | 12 | 13 | 13 | 14 | 14 | 15 | 15 |
| 10 | | 15 | 16 | 17 | 18 | 18 | 19 | 20 | 20 | 21 |
| 15 | | 17 | 18 | 19 | 20 | 21 | 22 | 22 | 23 | 23 |
| 20 | | 18 | 20 | 20 | 21 | 22 | 23 | 24 | 24 | 25 |
| 30 | | 19 | 21 | 22 | 22 | 23 | 24 | 25 | 25 | 26 |
| 45 | | 19 | 21 | 22 | 23 | 24 | 25 | 25 | 26 | 26 |
| 60 | 1 | 19 | 21 | 22 | 23 | 24 | 25 | 25 | 26 | 26 |
| 90 | 1,5 | 18 | 20 | 21 | 22 | 23 | 24 | 25 | 25 | 26 |
| 120 | 2 | 18 | 20 | 21 | 22 | 23 | 24 | 24 | 24 | 25 |
| 180 | 3 | 17 | 19 | 20 | 21 | 22 | 22 | 23 | 23 | 24 |
| 240 | 4 | 16 | 18 | 19 | 20 | 21 | 22 | 22 | 23 | 23 |
| 360 | 6 | 15 | 17 | 18 | 19 | 20 | 20 | 21 | 21 | 22 |
| 540 | 9 | 14 | 16 | 16 | 17 | 18 | 19 | 20 | 20 | 21 |
| 720 | 12 | 13 | 15 | 16 | 17 | 18 | 18 | 19 | 19 | 20 |
| 1080 | 18 | 13 | 14 | 15 | 16 | 17 | 17 | 18 | 18 | 19 |
| 1440 | 24 | 12 | 14 | 14 | 15 | 16 | 17 | 17 | 17 | 18 |
| 2880 | 48 | 12 | 13 | 14 | 14 | 15 | 15 | 16 | 16 | 17 |
| 4320 | 72 | 13 | 13 | 14 | 14 | 15 | 15 | 15 | 16 | 16 |
| 5760 | 96 | 13 | 14 | 14 | 14 | 15 | 15 | 15 | 15 | 16 |
| 7200 | 120 | 14 | 14 | 14 | 14 | 15 | 15 | 15 | 15 | 16 |
| 8640 | 144 | 15 | 14 | 14 | 15 | 15 | 15 | 15 | 16 | 16 |
| 10080 | 168 | 15 | 15 | 15 | 15 | 15 | 15 | 15 | 16 | 16 |

Parameter für abweichende T und D

Lokationsparameter ξ (Xi)

16,45182962

Skalenparameter α (Alpha)

5,38357823

Formparameter κ (Kappa)

-0,1

1. Koutsoyiannis-Parameter θ (Theta)

0,02643422

2. Koutsoyiannis-Parameter η (Eta)

0,75518377

Parameter für dauerstufenübergreifende Extremwertschätzung nach KOUTSOYIANNIS et al. 1998.

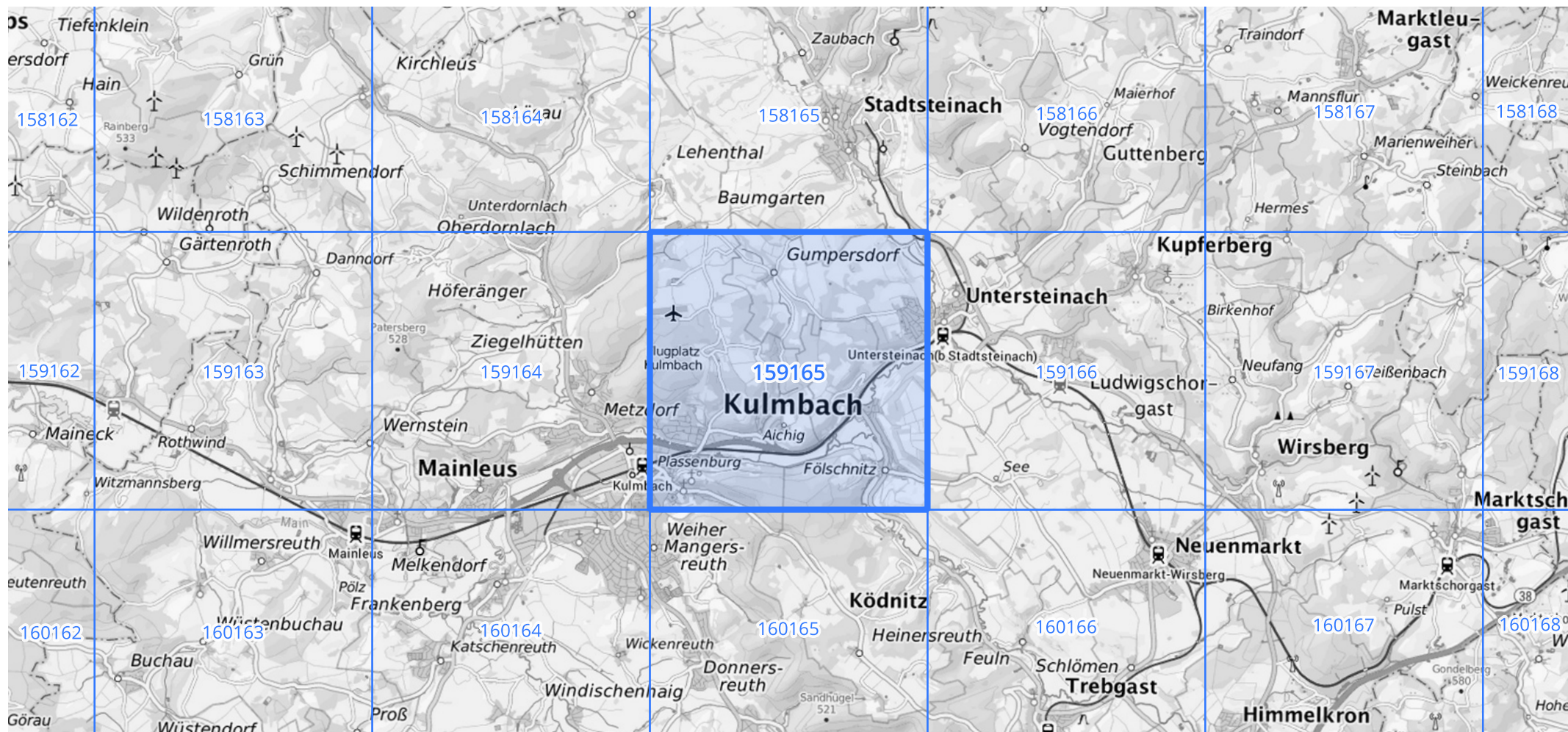
Siehe auch Anwendungshilfe zu KOSTRA-DWD-2020 des Deutschen Wetterdienstes.

Starkniederschlagshöhen und -spenden gemäß KOSTRA-DWD-2020

Rasterfeld 159165

(Zeile 159, Spalte 165)

Übersichtskarte des Rasterfeldes 159165, M 1 : 100 000



Quelle Rasterdaten: KOSTRA-DWD-2020 des Deutschen Wetterdienstes, Stand 12/2022.

Seite 3 von 3

Kartendarstellung: © Bundesamt für Kartographie und Geodäsie (2023), Datenquellen: https://sgx.geodatenzentrum.de/web_public/gdz/datenquellen/Datenquellen_TopPlusOpen.html

Für die Richtigkeit und Aktualität der Angaben wird keine Gewähr übernommen. Erstellt 01/2023.